

II-177 開水路粗面舌流の底面粗度の影響について

京都大学大学院 学生員 濑谷 和彦
 京都大学工学部 正員 中川 博次
 京都大学工学部 正員 神津 家久

1. まえがき 開水路滑面乱流においては、流速分布特性、乱れ特性がはるかに明らかにされたが、粗面乱流については不明な点が多く、系統的な実験、計測の難しさもあって、まだ十分な成果を得るまでには至っていない。管路では、Nikuradse が一様砂を貼り付けその特性を明らかにしている。本研究では、固定床粗度を用いた直線開水路において、粗度 k_s 、レイノルズ数、フルード数を系統的に変化させ、流速分布特性、乱れ特性にどのような影響を及ぼすかをレーザ流速計を用いて実験を行ない考察した。

2. 実験装置及び方法 実験水路は長さ10m、幅40cmの勾配可変型ガラス製水路であり、区間8mにわたり粗度を設け、粗度上流域から8.3mの地点に2成分レーザ流速計を設置した。粗度上流域にはトリッピングワイヤを設け、計測地点では十分に発達した乱流が得られるようにした。下流域にはゲートを設け、種々の等流が得られるようにした。用いた固定床粗度は、ケイ砂4号（平均粒径0.07cm）、ケイ砂1号（0.025cm）、玉砂利（0.618cm）の3種類の自然砂であり、これらの砂をなるべく密になるようにニス付けした。水理条件はアスペクト比を6以上にして2次流の発生を抑制し、レイノルズ数、フルード数を幅広く系統的に変化させ、各実験ケースについて、U（流下方向）、V（鉛直方向）の流速成分を、水路中央断面では流れの2次元性が確保されるものと期待して、約40点ほど高精度に計測した。摩擦速度 u_* はレイノルズ応力分布から決定し、流速分布特性、乱れ特性を検討した。

3. 平均流速分布特性 目視による河床を $Y=0$ とし、そこから真の座標原点までの補正量を ΔY とする。カルマン定数は滑面乱流で得られた $\kappa=0.41$ になる普遍定数であるとして、 ΔY 、積分定数 B を実験値から $\kappa=0.41$ にできるだけ近づくよう最小自乗法より決定した。図1に平均流速分布図を示す。図の実線は Coles の Wake 関数を加えた理論曲線である。これより内部層 ($Y/H < 0.2$) での実験値と対数則との一致は良好であり、外部層 ($Y/H > 0.2$) では Log-Wake 則が見られる。高速流になると、最大流速点の水面下への降下が見られ2次流が発生していることがわかる。粗面では乱れの非一様性が大きくなりやすく、アスペクト比を6以上としても滑面乱流に比べて、2次流は発生しやすいと考えられる。また積分定数 B の分布を図2に示す Nikuradse によれば、粗管では $B = f_n(u_* k_s / v)$ であることが結論されている。実験値は Nikuradse の結果よりも小さな値をとっているが、自然砂であり、粗度の付け方が違うにもかかわらず $k_s = d$ (粒径) にしていることが原因であると考えられるしかし、全体の傾向は類似しており、開水路においても B は粗度の関数であり、完全粗面では一定値に落ちくようである。外部層で見られる Log-Wake 則は実験値から最小自乗法により Coles 係数 Π を決定した。粗度が大きくなれば、Wake も大きくなるようである。 Π の分布を図3に示す実線は滑面での実験曲線¹⁾であり、実験値にはかなりばらつきが見られ、増加傾向にあるという以外系統的な変化は見られない。

4. 乱れ特性 図4に乱れ強度分布を示す。実線は神津²⁾の提案した滑面での指数量モデルの理論曲線である。粗面では、粗度の効果が大きな壁近傍 ($Y/H < 0.3$) では、平均漏渦 z が減少し乱れエネルギーの再分配がより一様化に向かい、従って u' は減少し、 v' は若干増加する。図より k_s の増加に伴ない $Y/H < 0.3$ では u' は減少し、 v' は若干増加していることがわかる。この分布形で特徴的なことは、 u' がピークを持つことであり、このピークは乱れエネルギーの発生が最大となる $Y^*=20$ ($Y=Y_0/v$) に対応している。乱れエネルギーは $Y^* < 20$ では粘性のため減衰し、 $Y^* > 20$ では拡散のため減衰する。図5にスペクトル解析より求めた平均漏渦 L_x の分布を示す。 $Y/H < 0.3$ では、 k_s^* ($k_s^*=k_s u_* / v$) の増加に対し平均漏渦は減少することがわかり、 u' が減少することが説明される。流れが速くなると、 k_s^* の増加に伴なう u' 、 v' の系統的な変化は見られなくなる。平均漏渦についても同様なことが言える。 v' は滑面での理論曲線にはほぼ一致しているが、 u' は全体的に滑面での曲線より下方に分布している。従って完全粗面では実験定数 D_u は、2.3 よりも小さな値をとると考え

られる。

5.あとがき 相度による影響は k_s^+ の小さい場合には顕著に見られるが、 k_s^+ が大きくなると、より相度の影響が丸め込まれてしまい、その特性は見かけ上相度 k_s^+ の大小には無関係になる。また、今後の課題として人工相度を用い、座標原点を明確にし、カルマン定数やColes係数 Π の分布形の検討を詳細に行ないたい。

<参考文献> 1) Nezu & Rodi (1986), ASCE, J. Hydraulic Eng., vol. 112, pp. 335-355

2) 神津家久 (1977), 土木学会論文集, 第 261 号, pp. 87-78

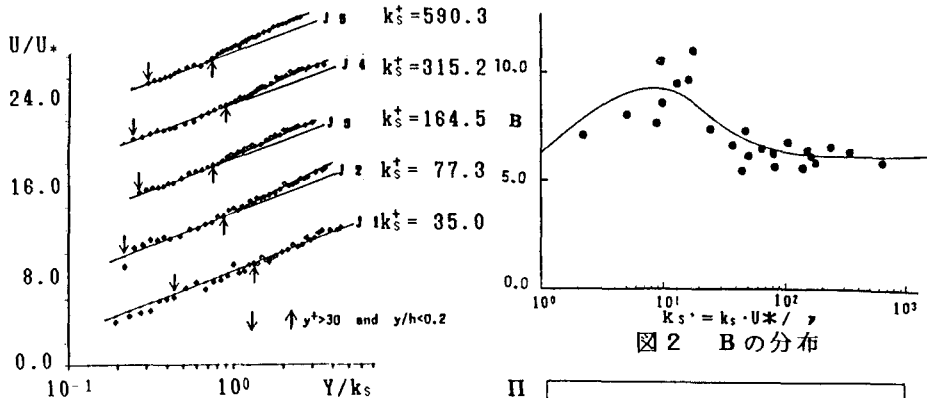


図 1 平均流速分布

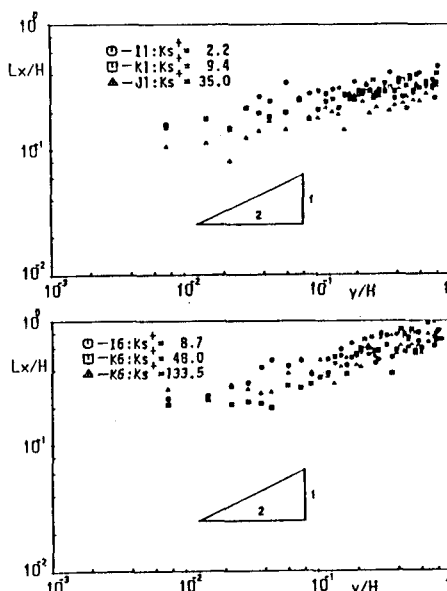
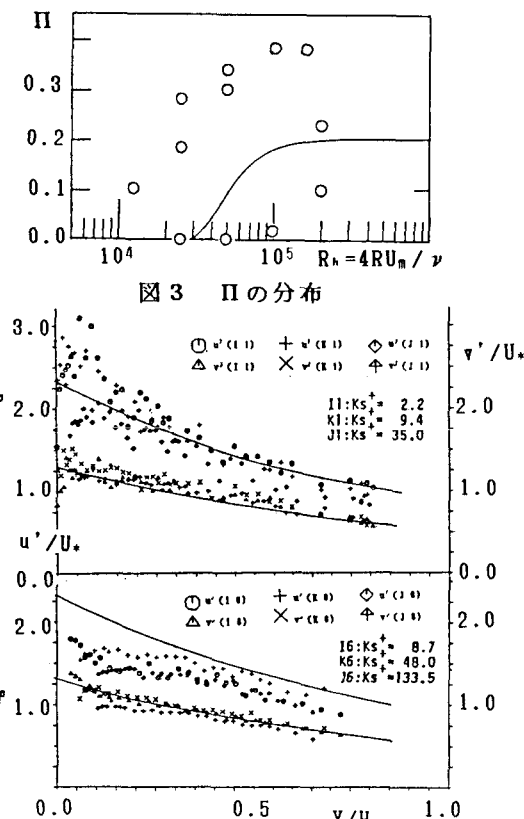


図 5 平均曲率

図 3 Π の分布